

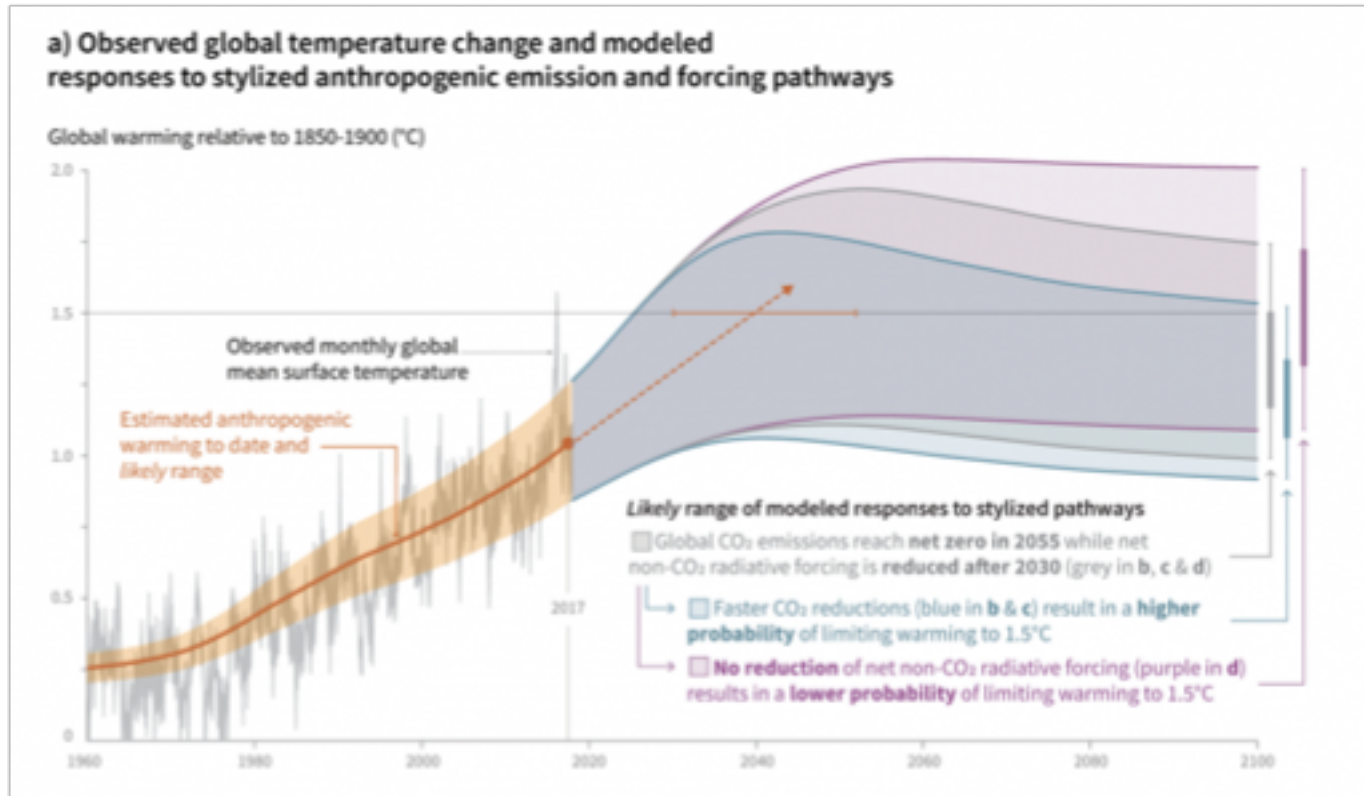


Nuevas perspectivas en Energía Solar Térmica Residencial y Comercial

Gerardo Diaz

Department of Mechanical Engineering,
University of California, Merced

1.5 °C



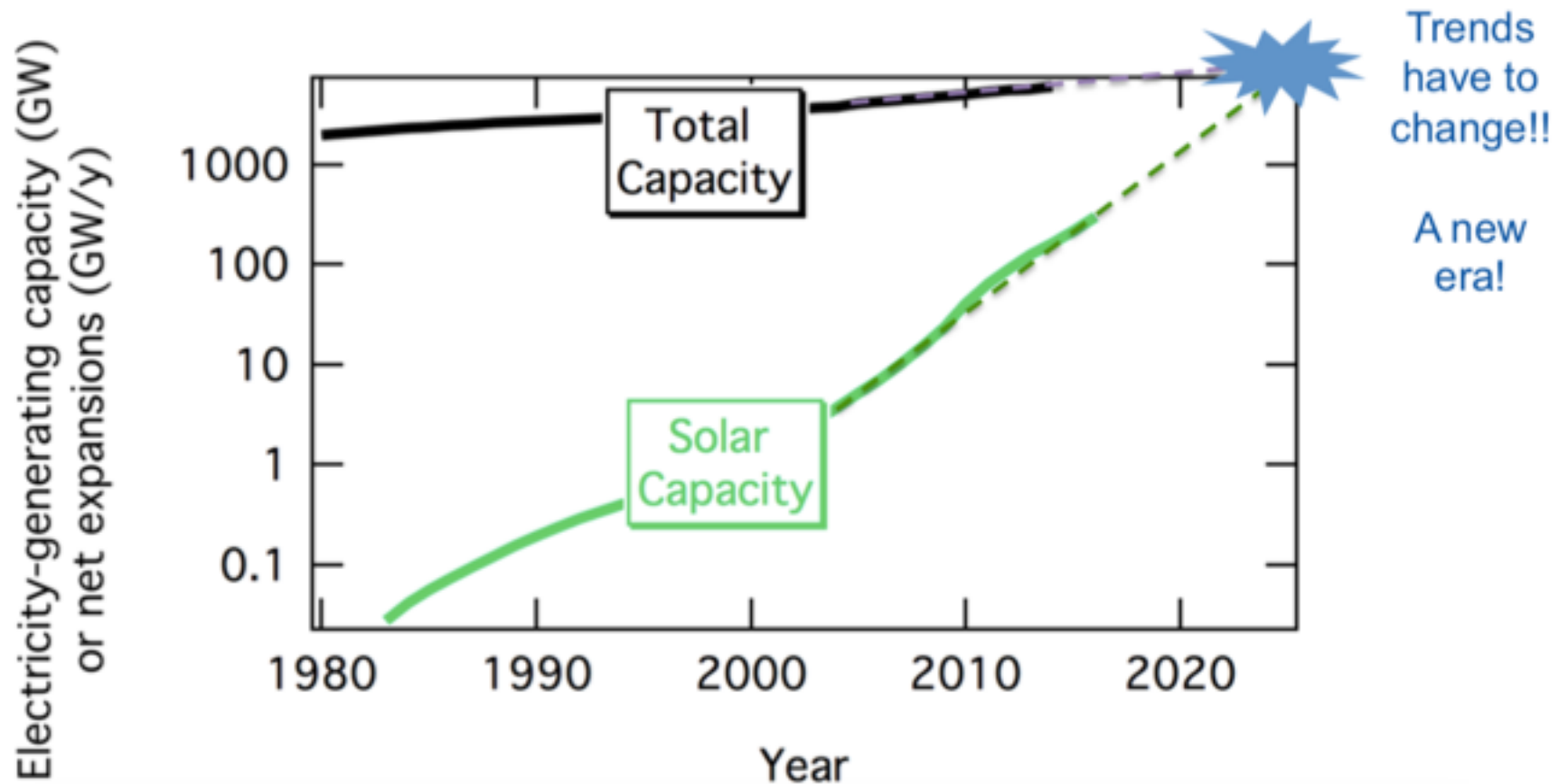
1.5 grados Celsius podrían alcanzarse en 12 años y con seguridad dentro de 20 años, si es que no hay reducciones significativas en las emisiones de CO₂

Cumplir con este objetivo exige transformaciones extraordinarias en transporte, energía, uso del suelo, infraestructura y sistemas industriales.

También exige una gran escala de tecnologías emergentes, como las que eliminan el dióxido de carbono directamente del aire.

Una Nueva Era en Energía Solar

What happens when PV approaches the total?

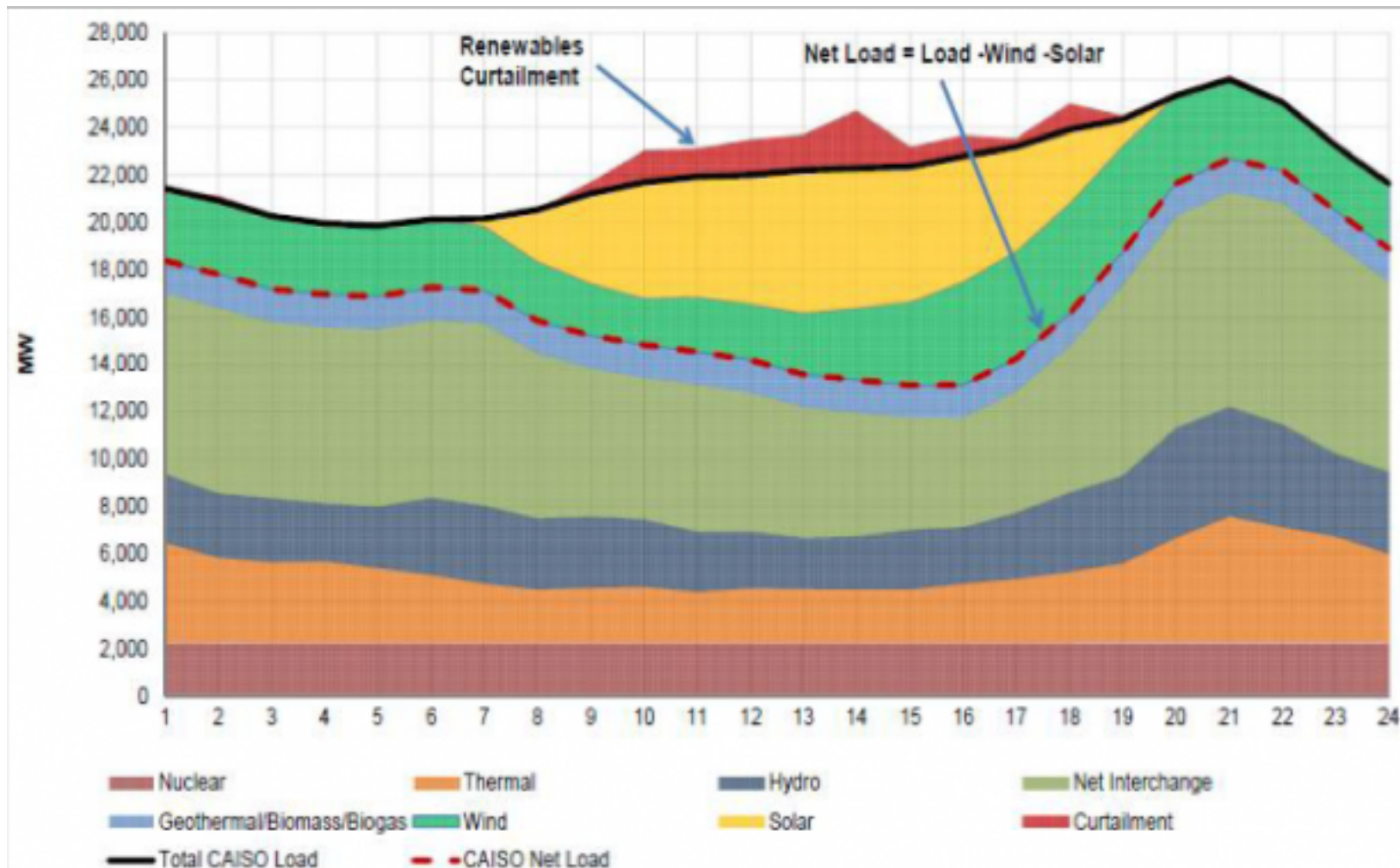


California ISO | PEAK RECORDS

ISO hit all-time peak percentage of demand served by solar 3/4, **49.95%** at 12:58 p.m.

Previous peak: 47.2% on 5/14/17

Reducción de Capacidad de Energías Renovables



BRIEF
CAISO: California curtailed 80 GWh of renewables in March

Prácticamente Inevitable

- Aumento de Temperaturas.
- Mayor incidencia de incendios forestales.
- Aumento del nivel del mar y eventos climáticos severos.

Energy Research and Development Division
FINAL PROJECT REPORT

ASSESSMENT OF CALIFORNIA'S NATURAL GAS PIPELINE VULNERABILITY TO CLIMATE CHANGE

White Paper from the California Energy
Commission's Climate Change Center

Prepared for: California Energy Commission
Prepared by: University of California, Berkeley



JANUARY 2017
CEC-500-2017-008



ERNEST ORLANDO LAWRENCE
BERKELEY NATIONAL LABORATORY

LBNL-Report

ESTIMATING RISK TO CALIFORNIA ENERGY INFRASTRUCTURE FROM PROJECTED CLIMATE CHANGE

Jayant Sathaye, Larry Dale, Peter Larsen, Gary Fitts,
Lawrence Berkeley National Laboratory (LBNL)

Kevin Koy and Sarah Lewis,
Geospatial Innovation Facility, University of California at Berkeley

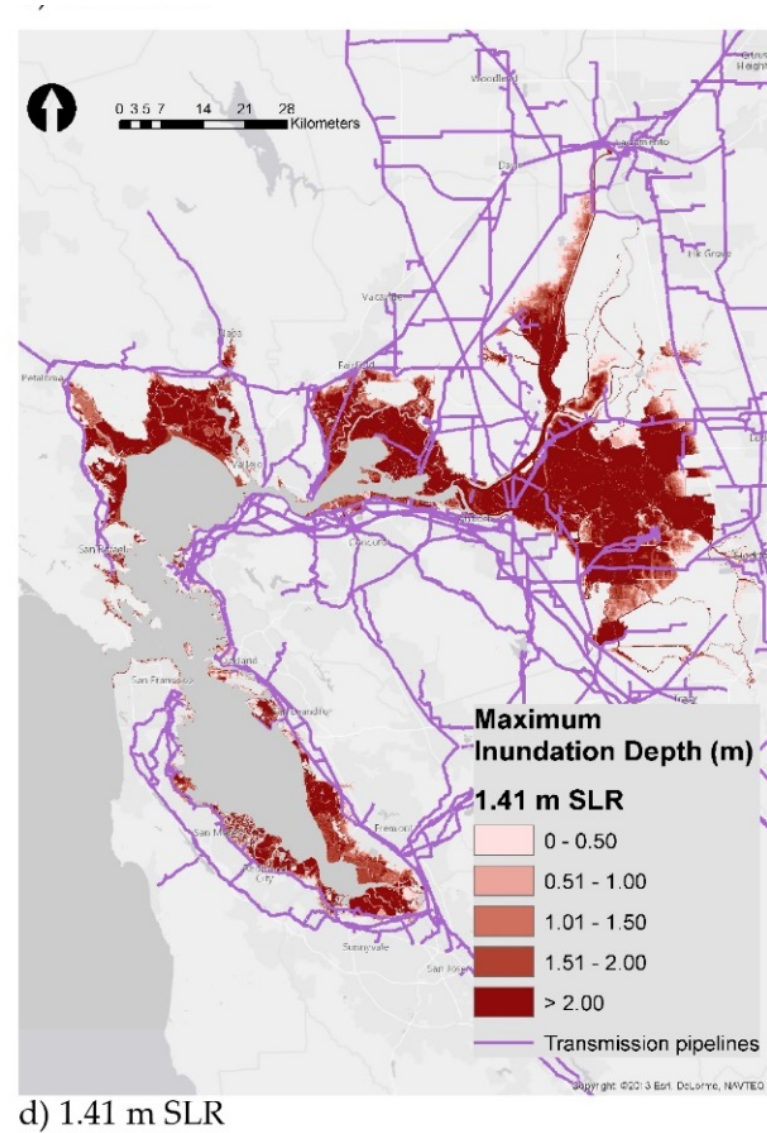
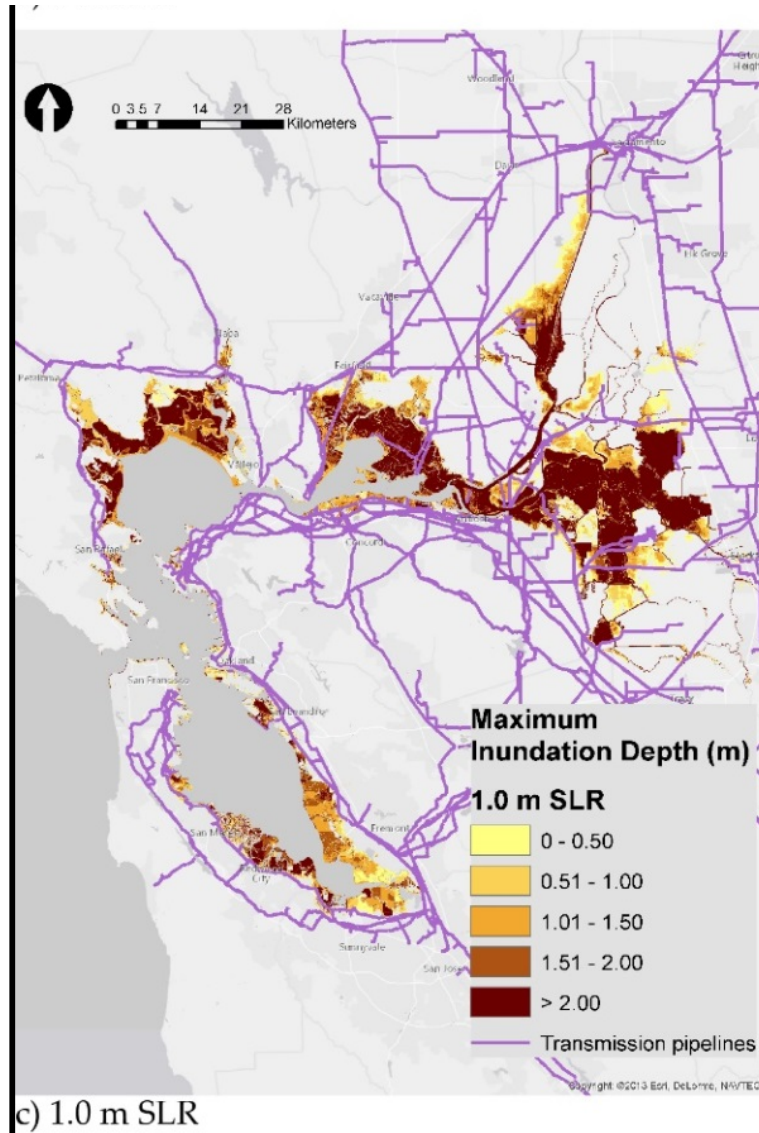
Andre Lucena, Federal University of Rio de Janeiro

Pacific Gas and Electric Company

Climate Change Vulnerability Assessment and Resilience Strategies



Ejemplo: Cañerías de Gas Natural



Cañerías de GN afectadas por máxima inundación o peor tormenta en 100 años

Falla en Cañerías de GN

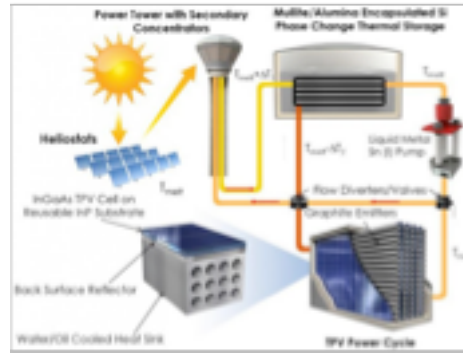


San Bruno (2010)



Fuga de GN Aliso Canyon (2015)

1414 °C



Thermophotovoltaico/
Estaño fundido

565 °C



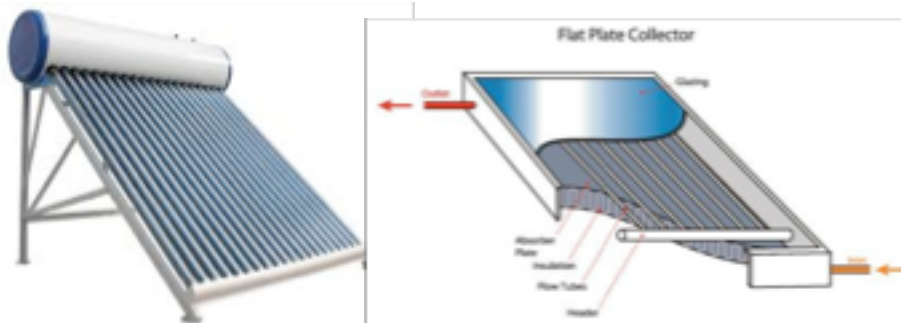
Gen. Electricidad y
Almacenamiento con sales fundidas

250 - 400 °C



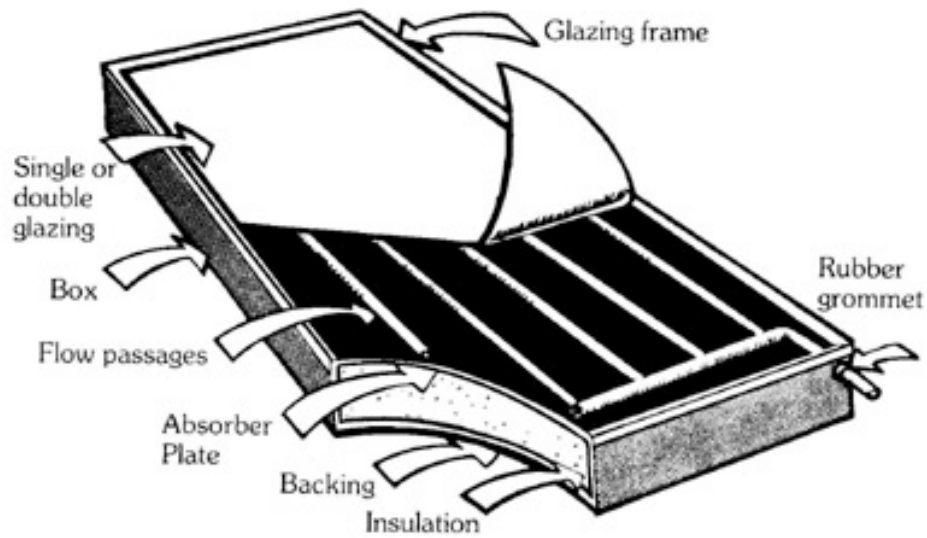
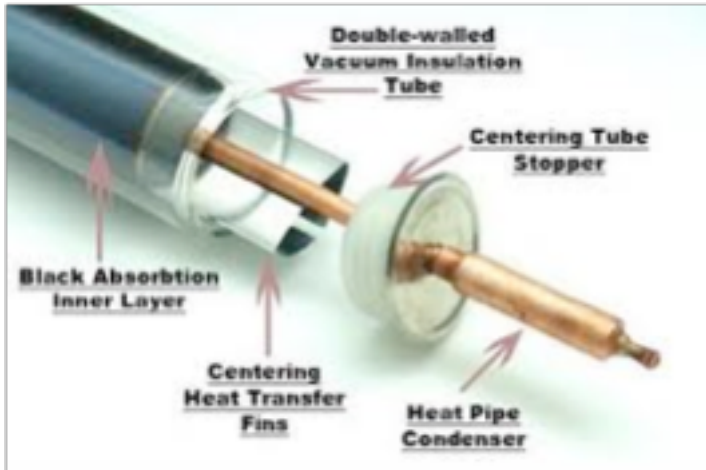
Calor para Procesos

40 - 250 °C

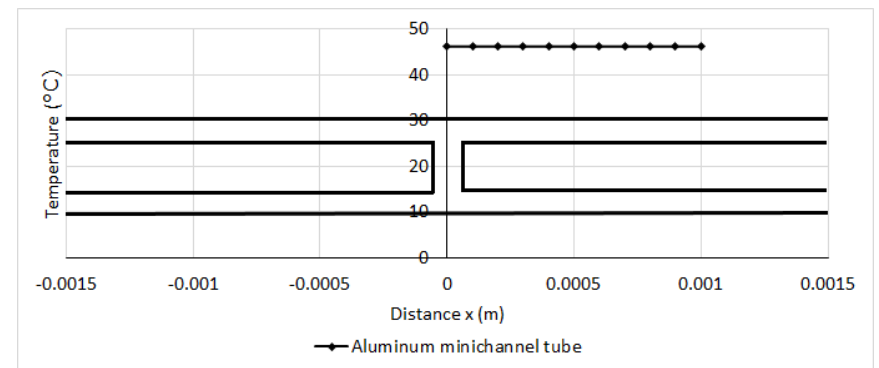
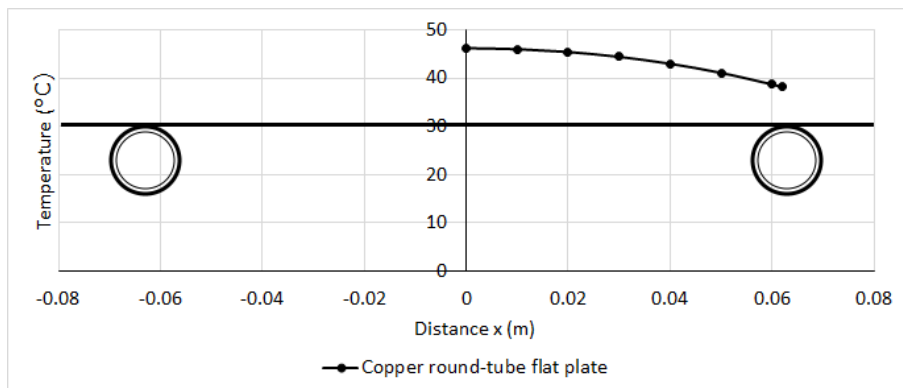
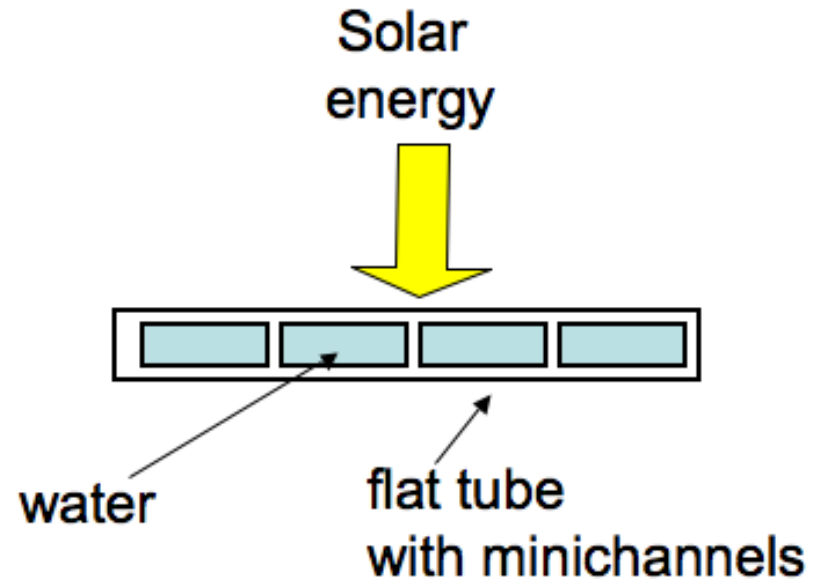
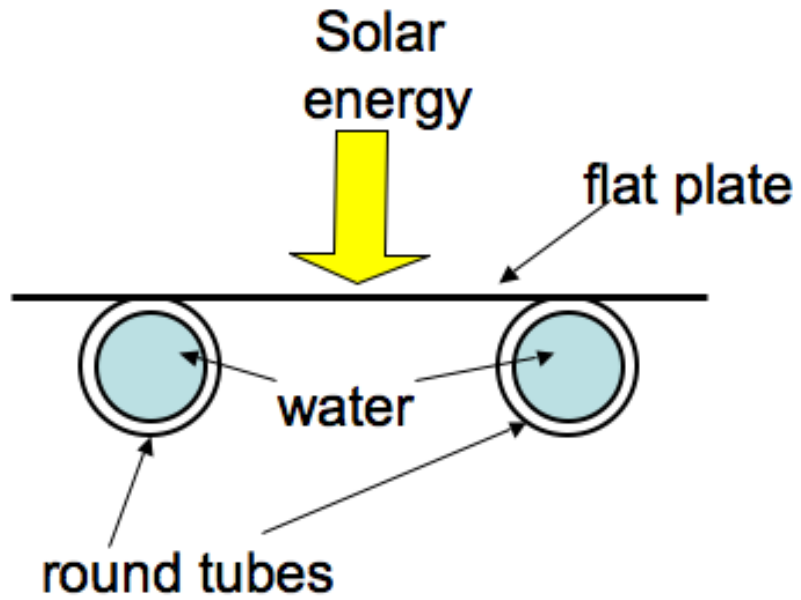


Agua caliente o
vapor

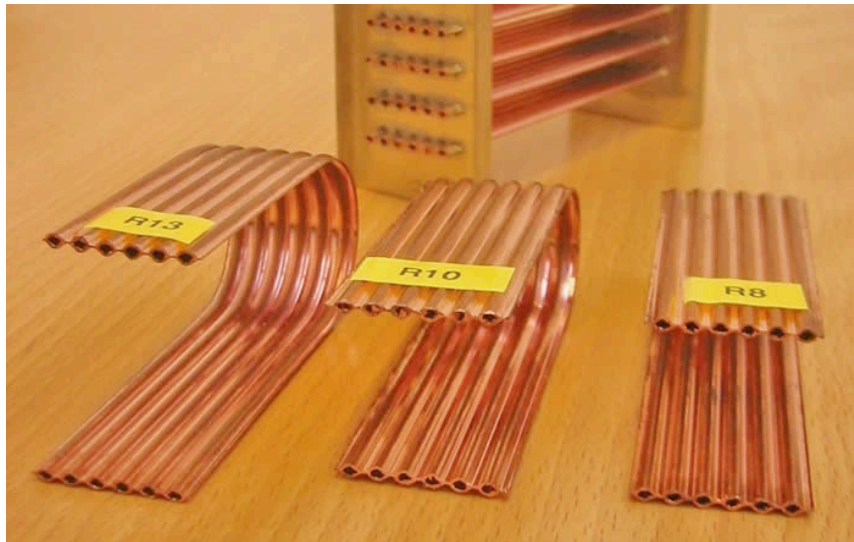
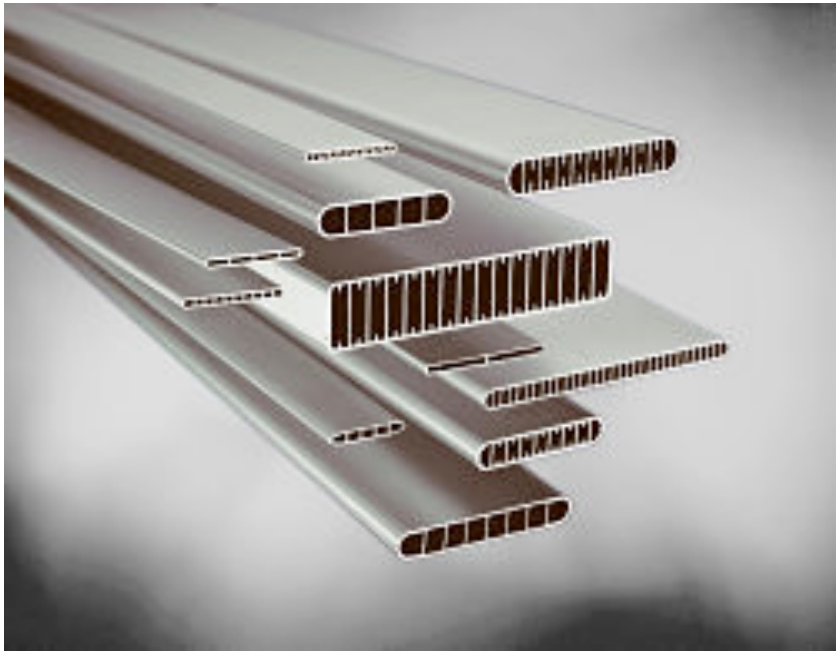
Configuraciones



Tubos de Minicanal



Tipos de Tubo de Minicanal



Condensador Minicanal versus
Condensador RTPF

Capacidad: 7 kW

Mejor Eficiencia Termal

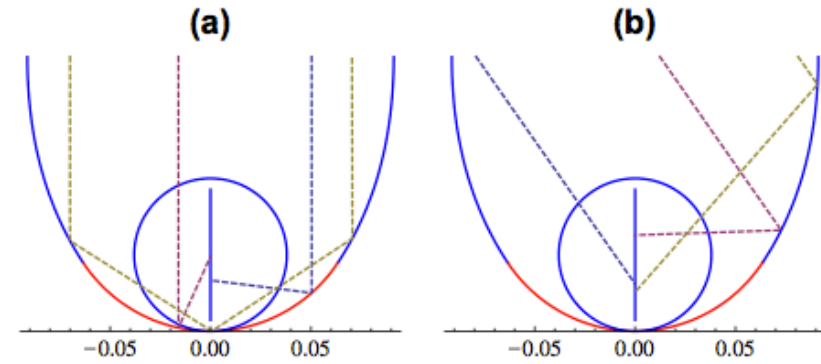
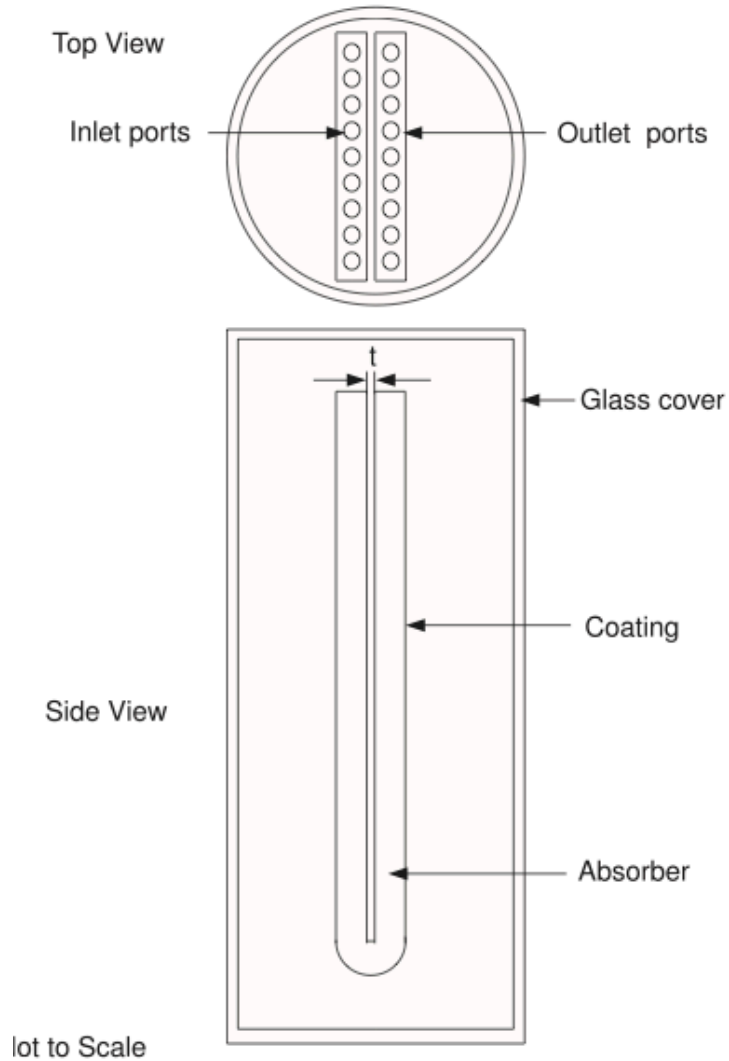
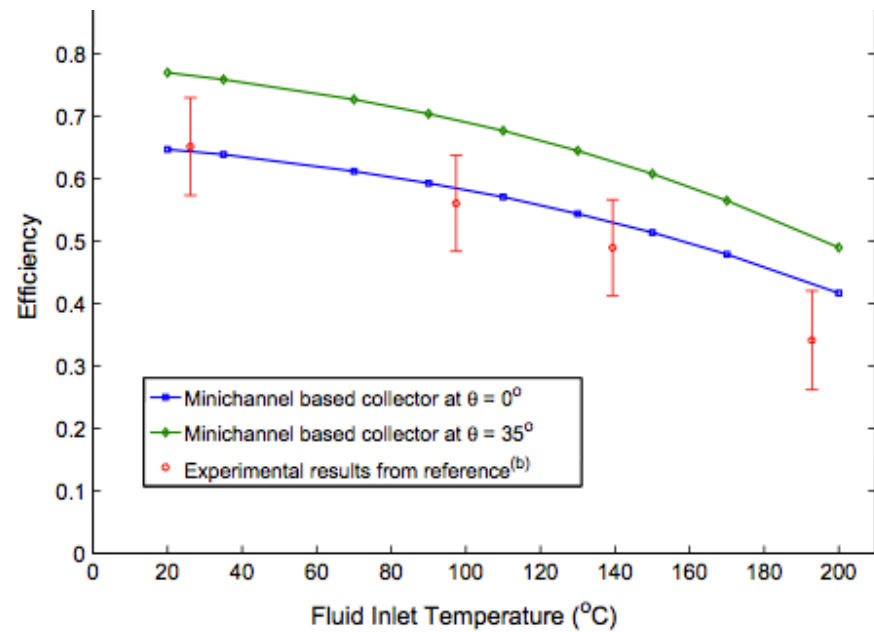
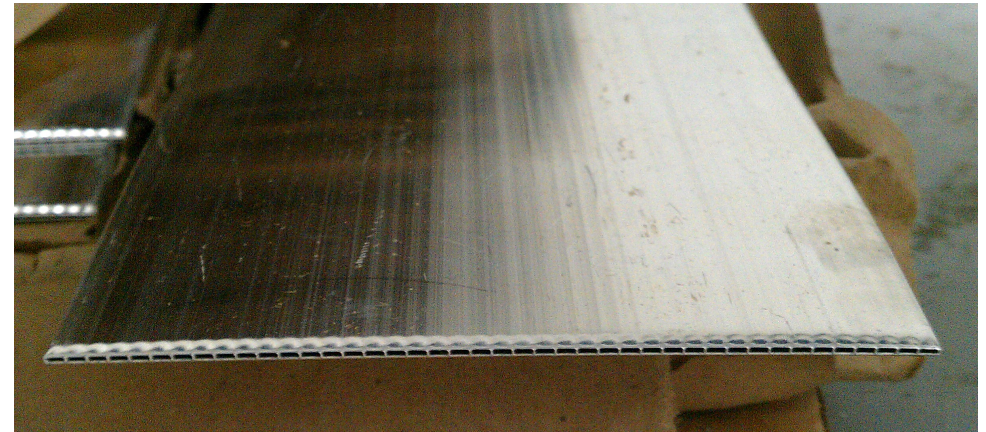


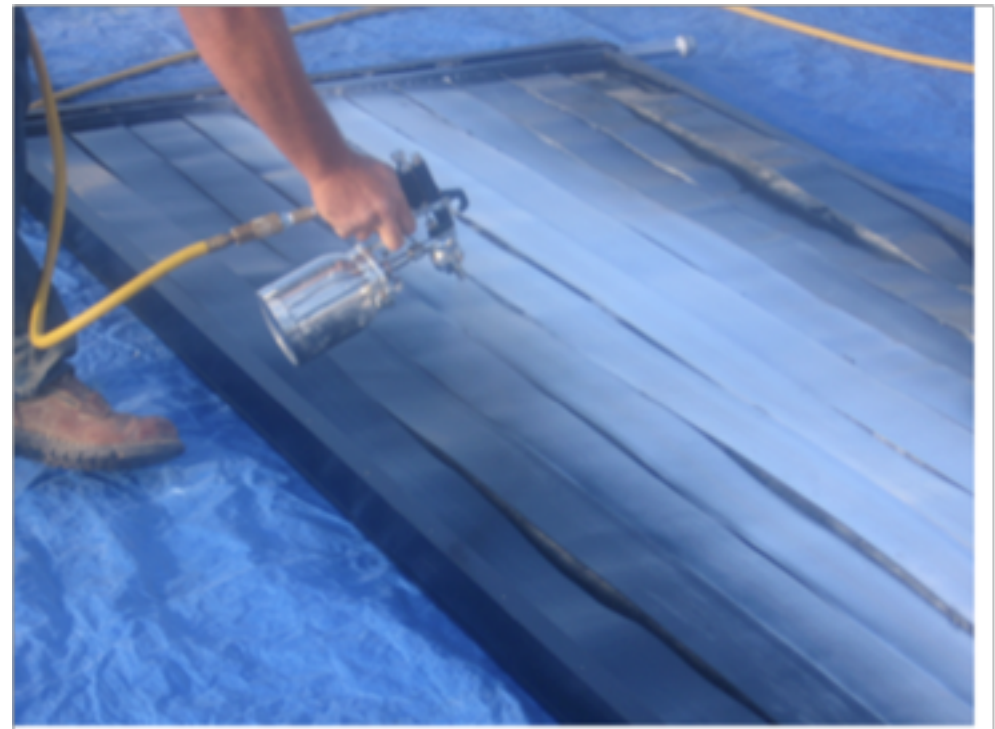
Fig. 10. Cross-section profile of the CPC concentrator for the minichannel-based solar collector. Three sample rays out of 50,000 are shown for (a) $\theta = 0^\circ$ and (b) $\theta = 35^\circ$.



Colector de Aluminio de Minicanal

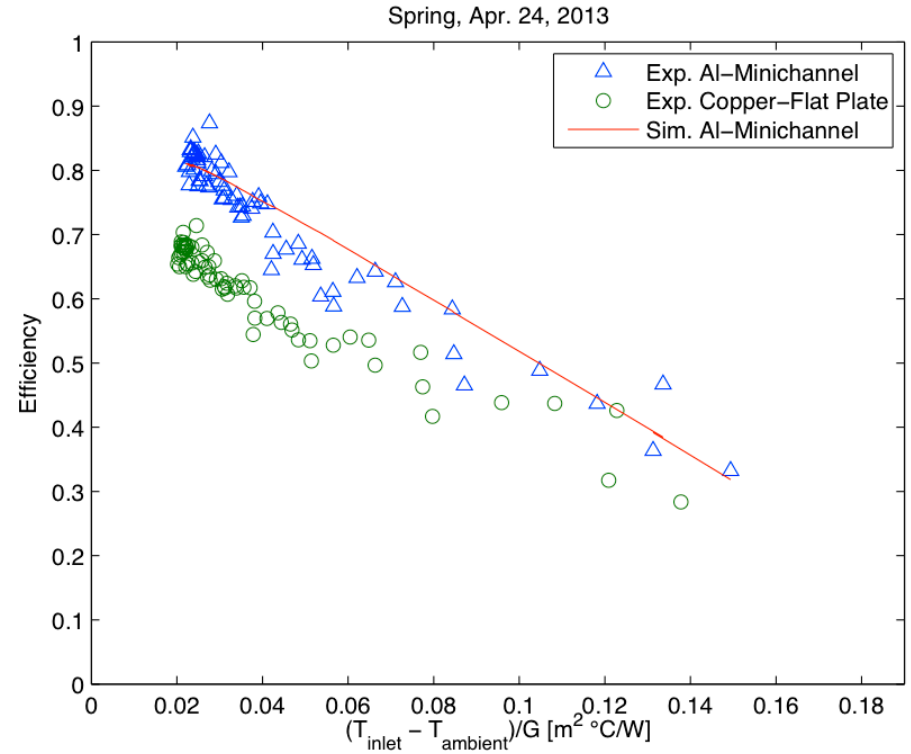
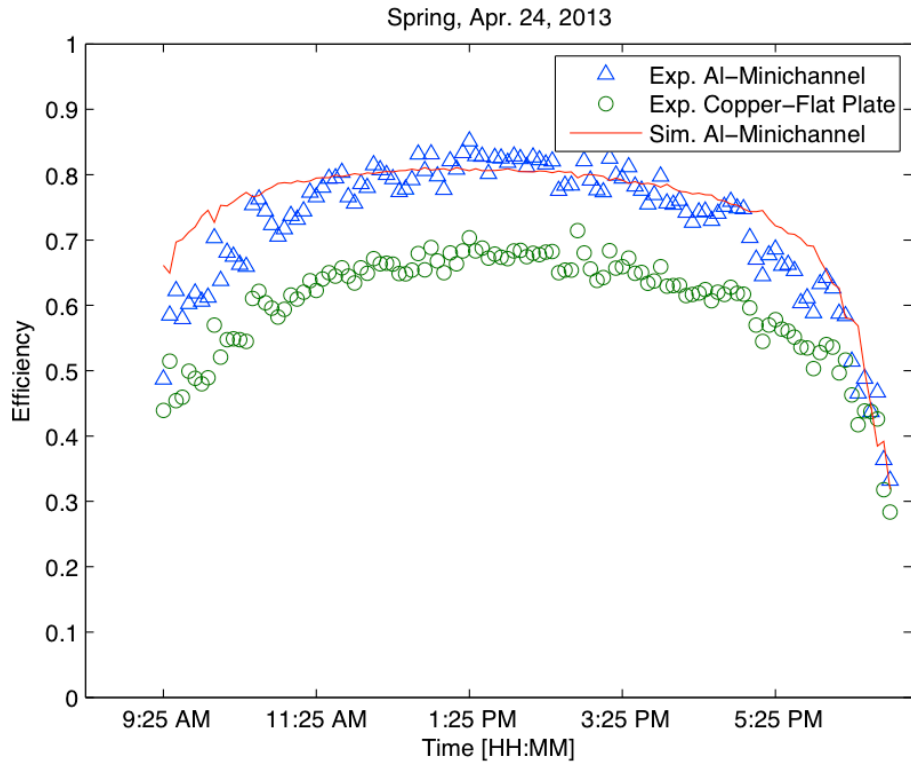


Tube Minicanal by Hydro



Capa Selectiva: Black chrome (EC series): $\alpha = .95$, $\varepsilon = .12$

Thermal Efficiency



Mejora en Efficiency Thermal $> 10\%$, aproximadamente

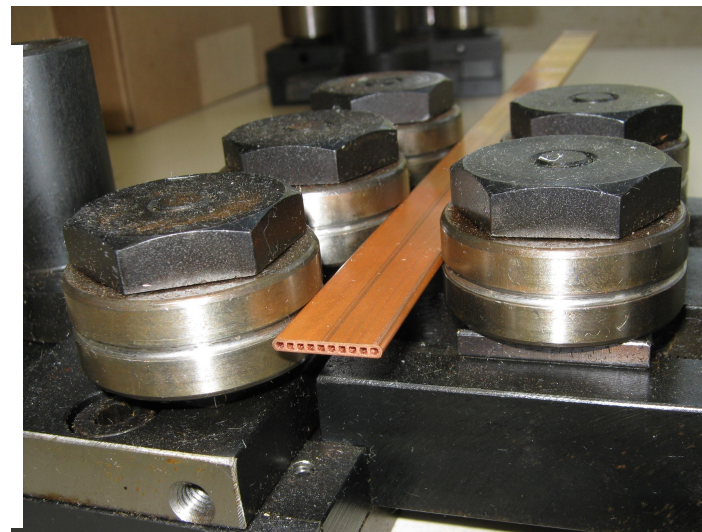
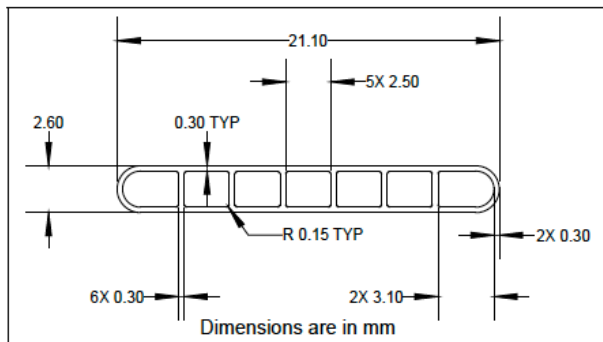
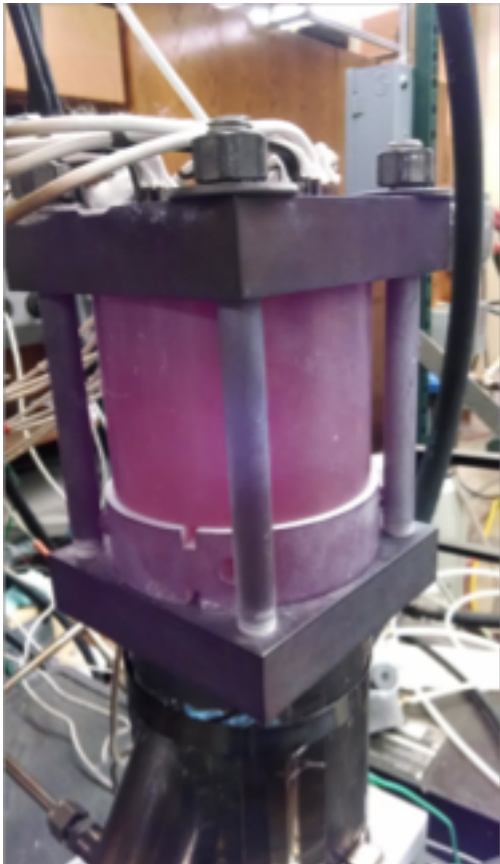
Costo de Colector Prototipo

10 ft. by 4 ft. (3.7 m²) collector solar de minicanal de aluminio

- Aluminum minichannel tubes = \$440
- Headers = \$28
- Collector frame and glass purchased = \$500
- TIG welding = \$1056
- Total = \$2024, **\$544.65/m²**
- Estimated cost for mass produced unit: **\$155.32/m²**

Average conventional collector **\$553.50/m²**

Extrusion de Cobre



Copper minichannel tubes
manufactured by Prof. Kraft, at Ohio
University

Generación de Vapor de Bajo Grado

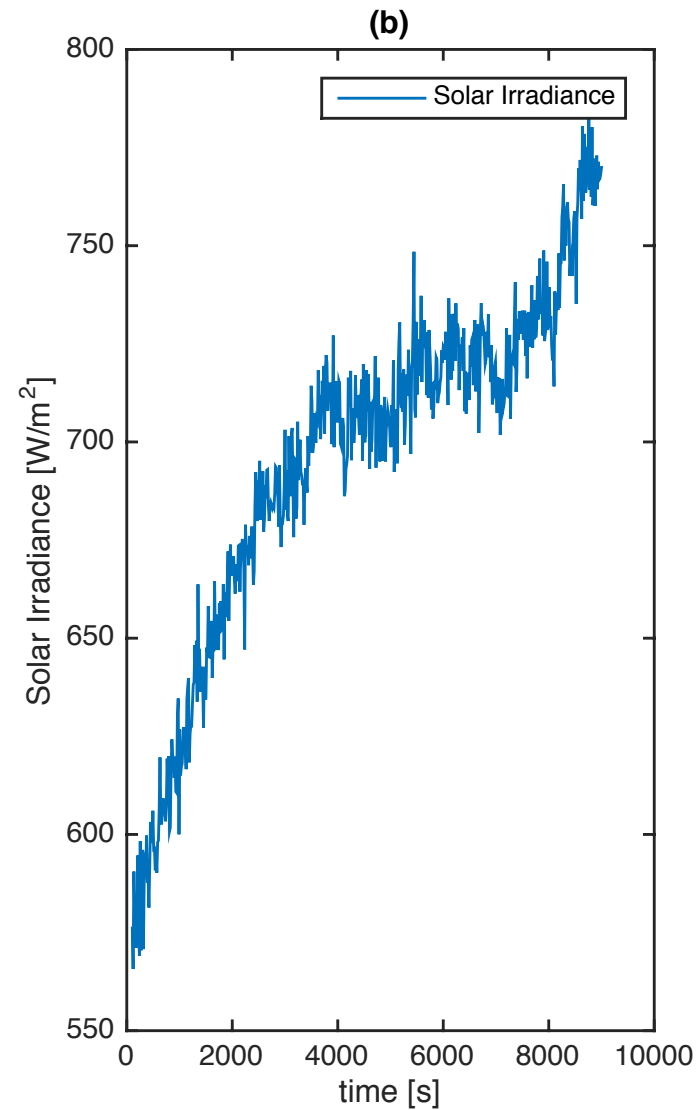
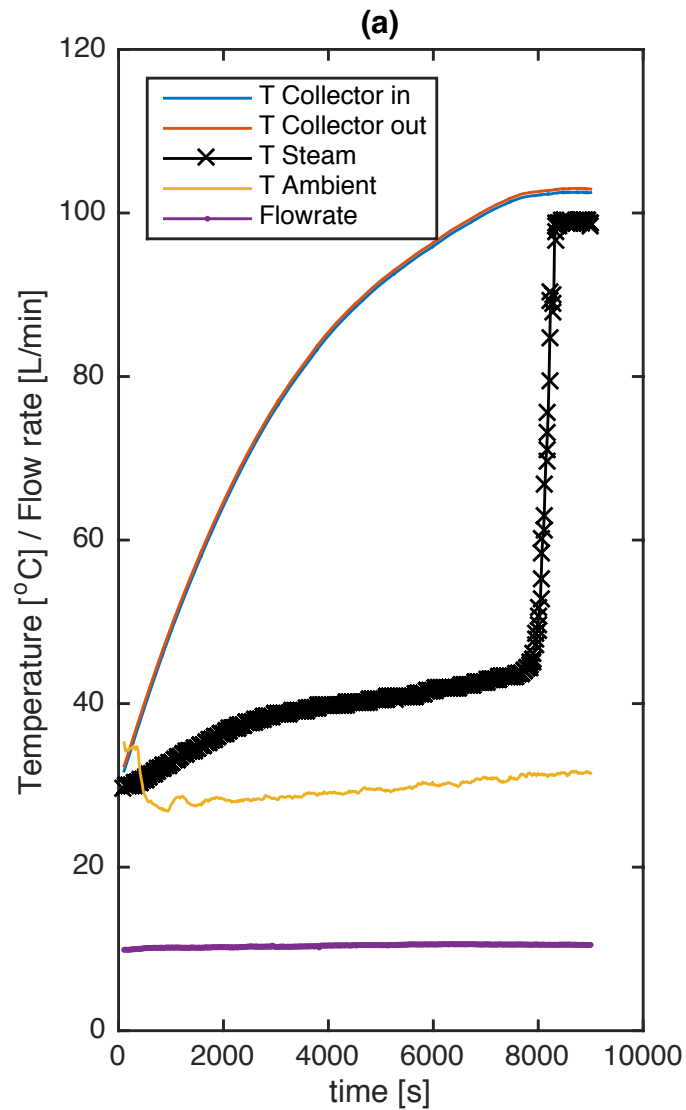


Angulo Variable de Inclinación

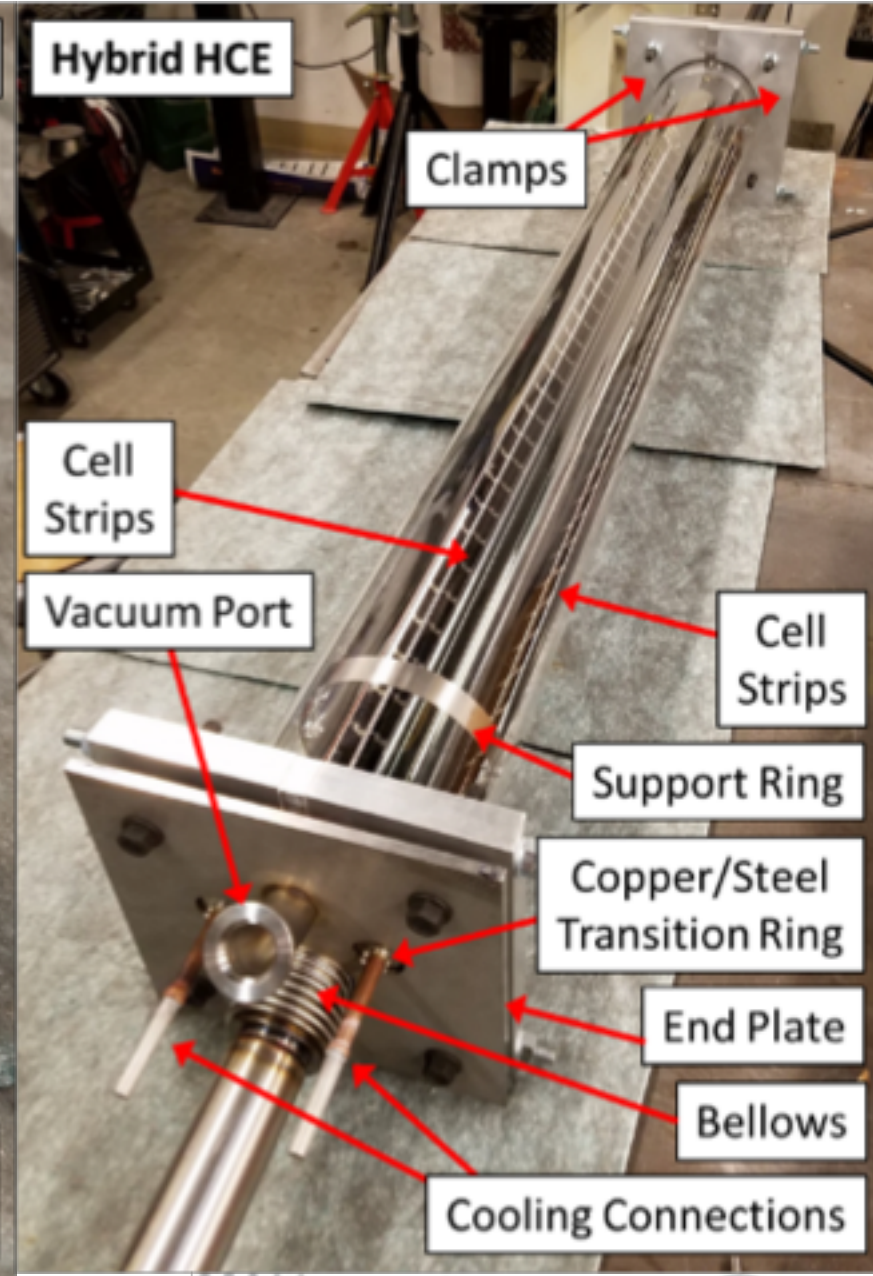
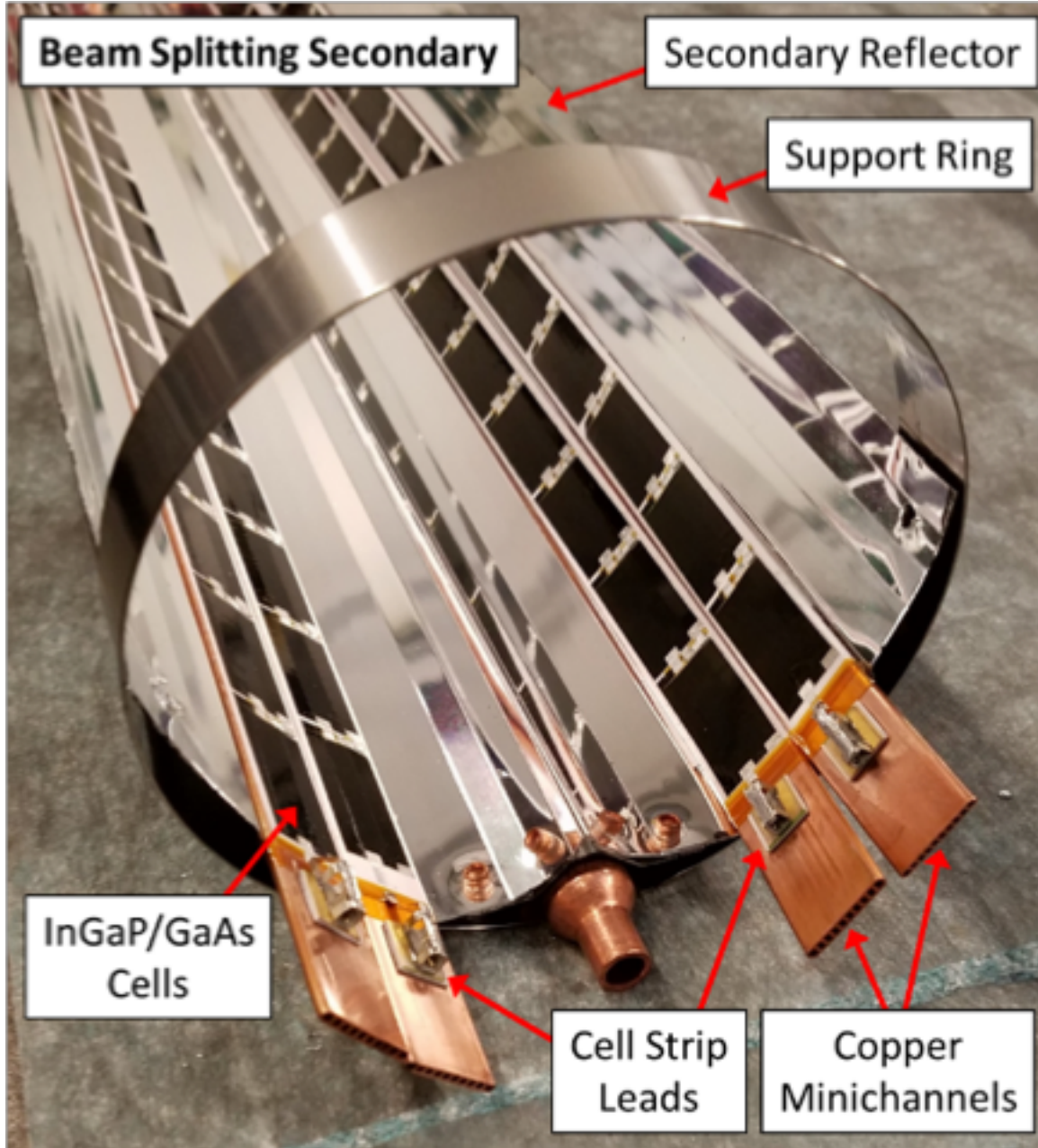


Generador de vapor

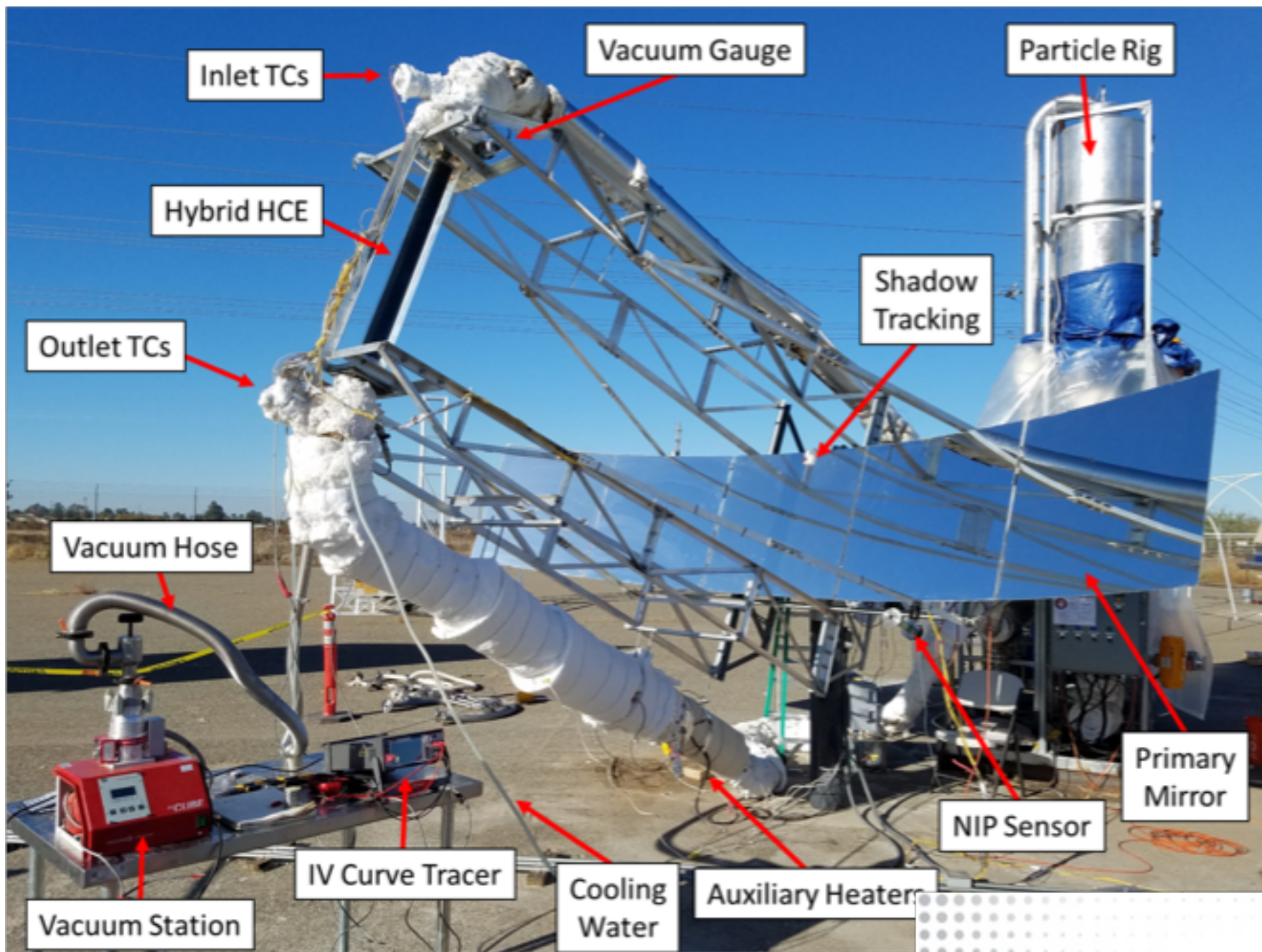
Generation de Vapor de Bajo Grado



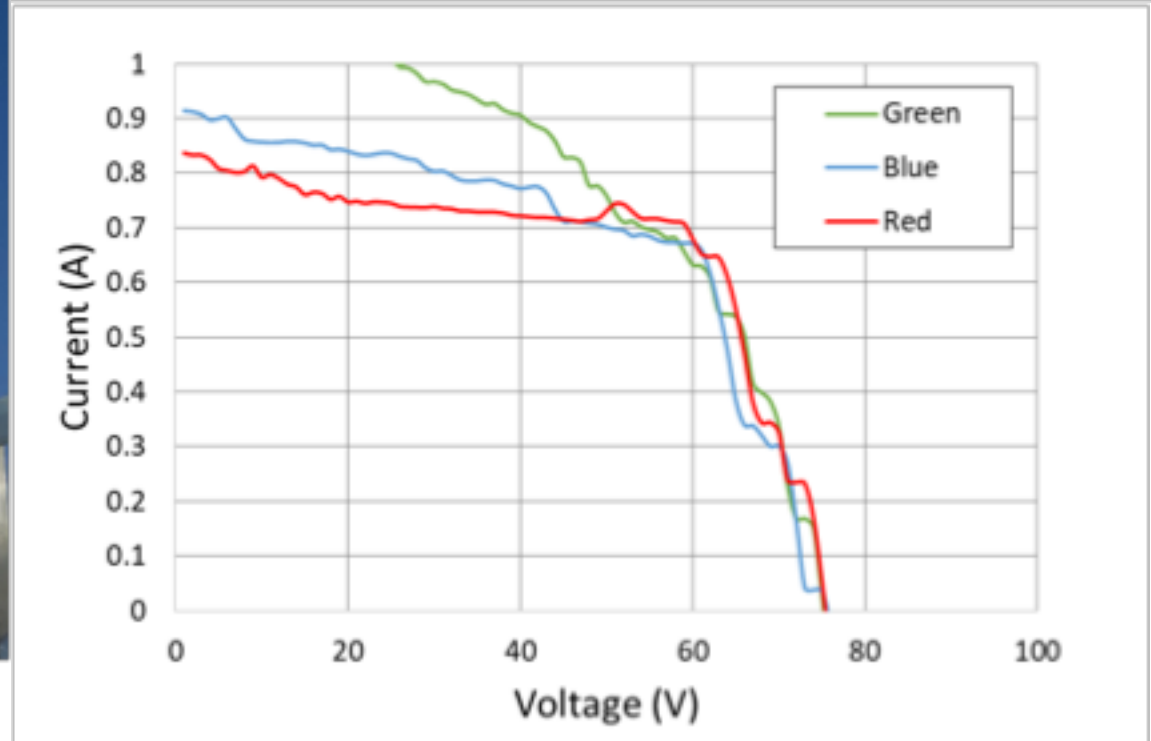
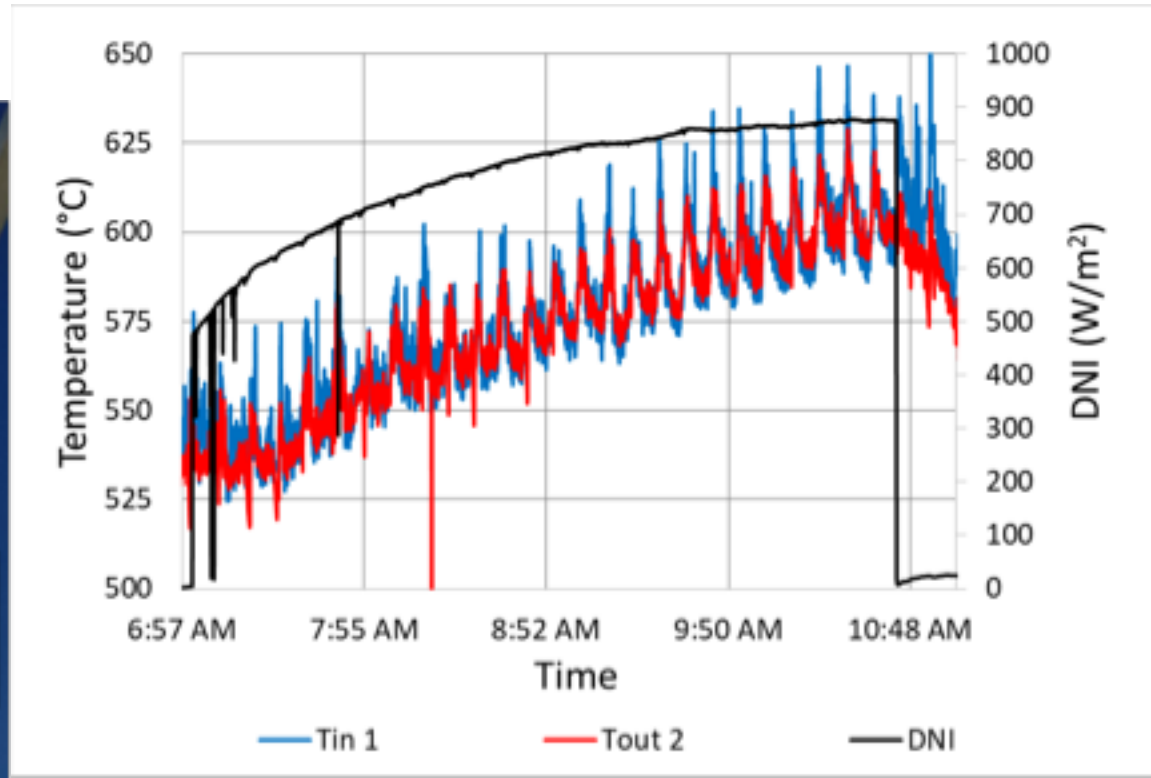
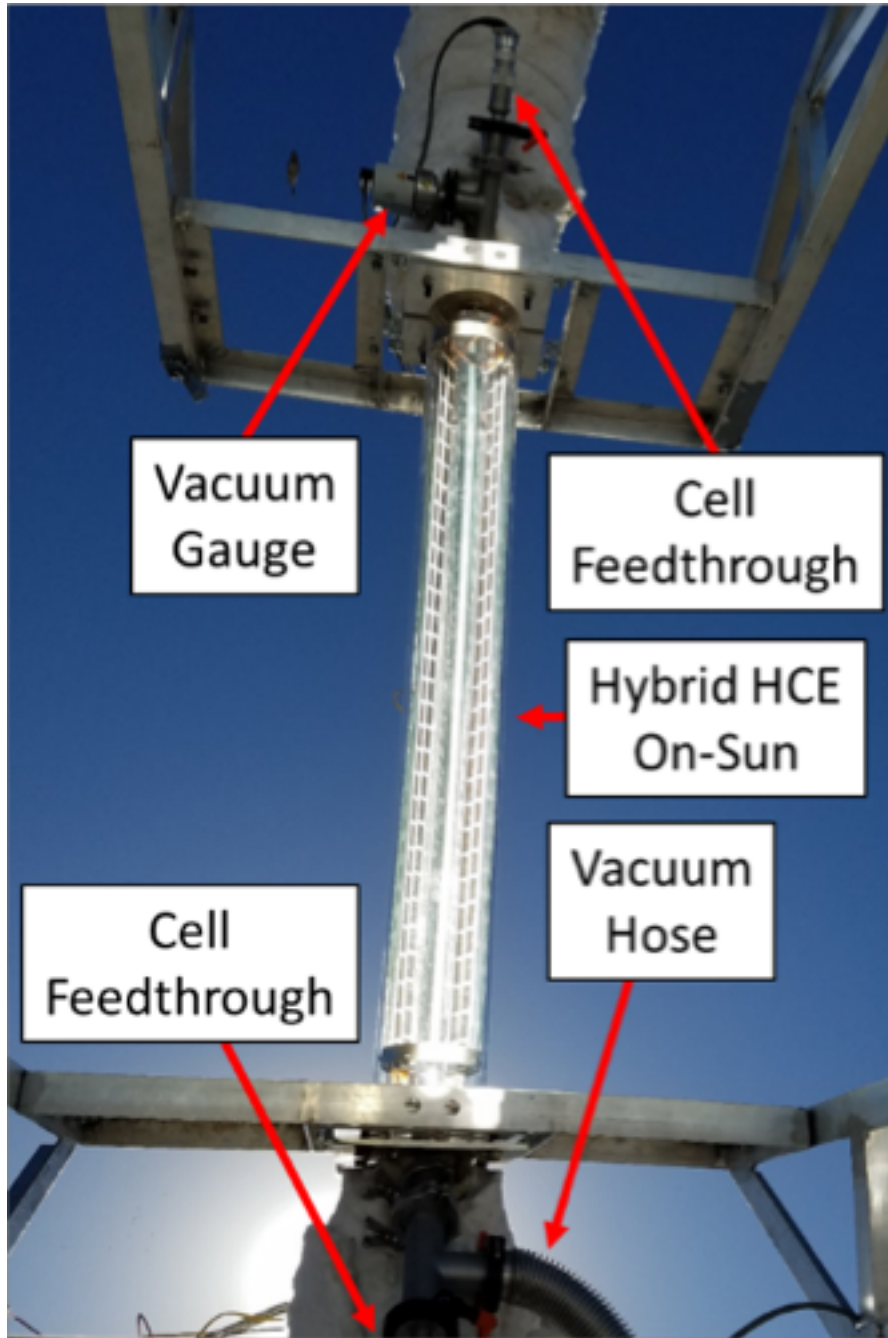
Alta Temperatura + Electricidad



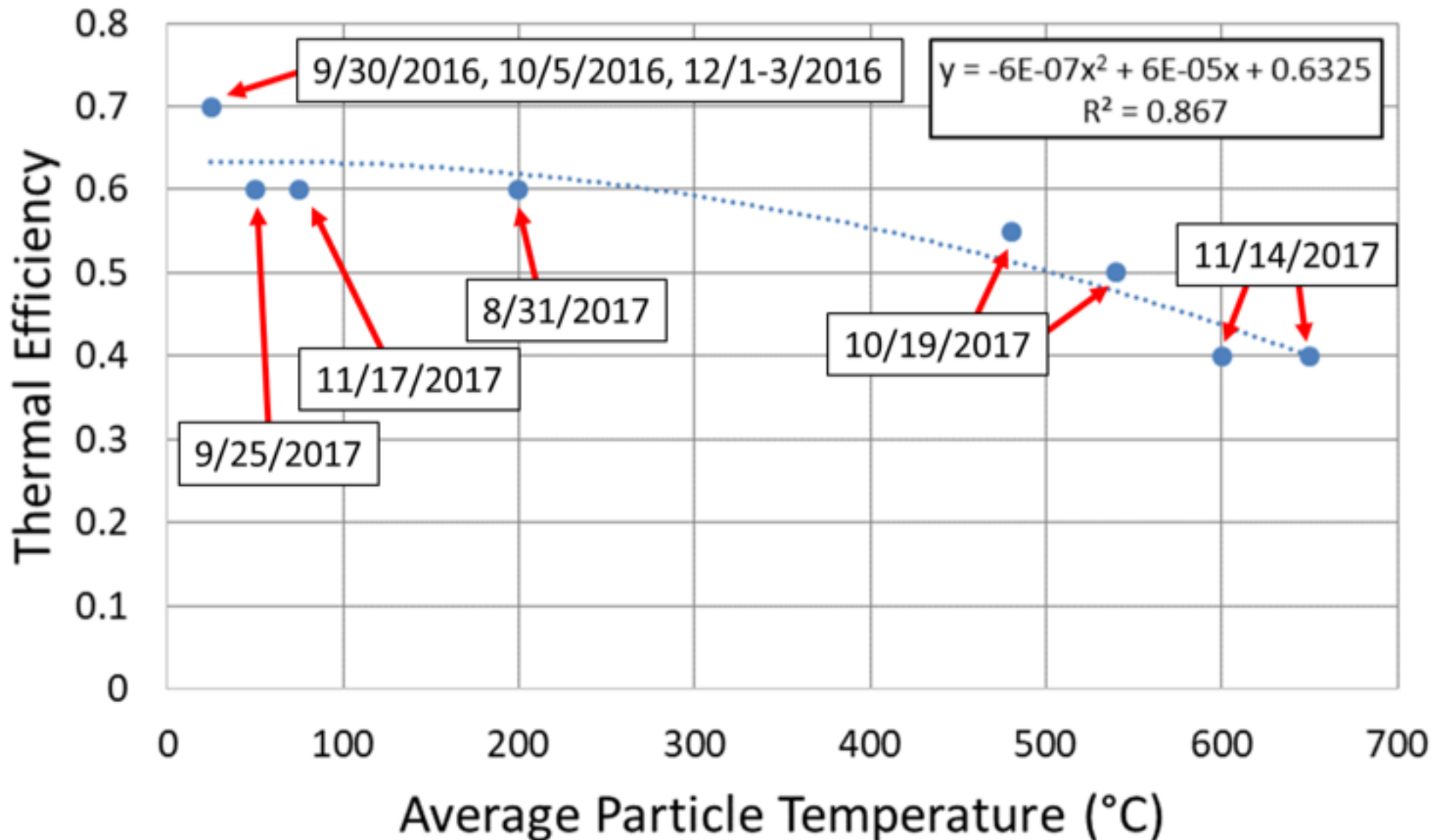
650 Celsius



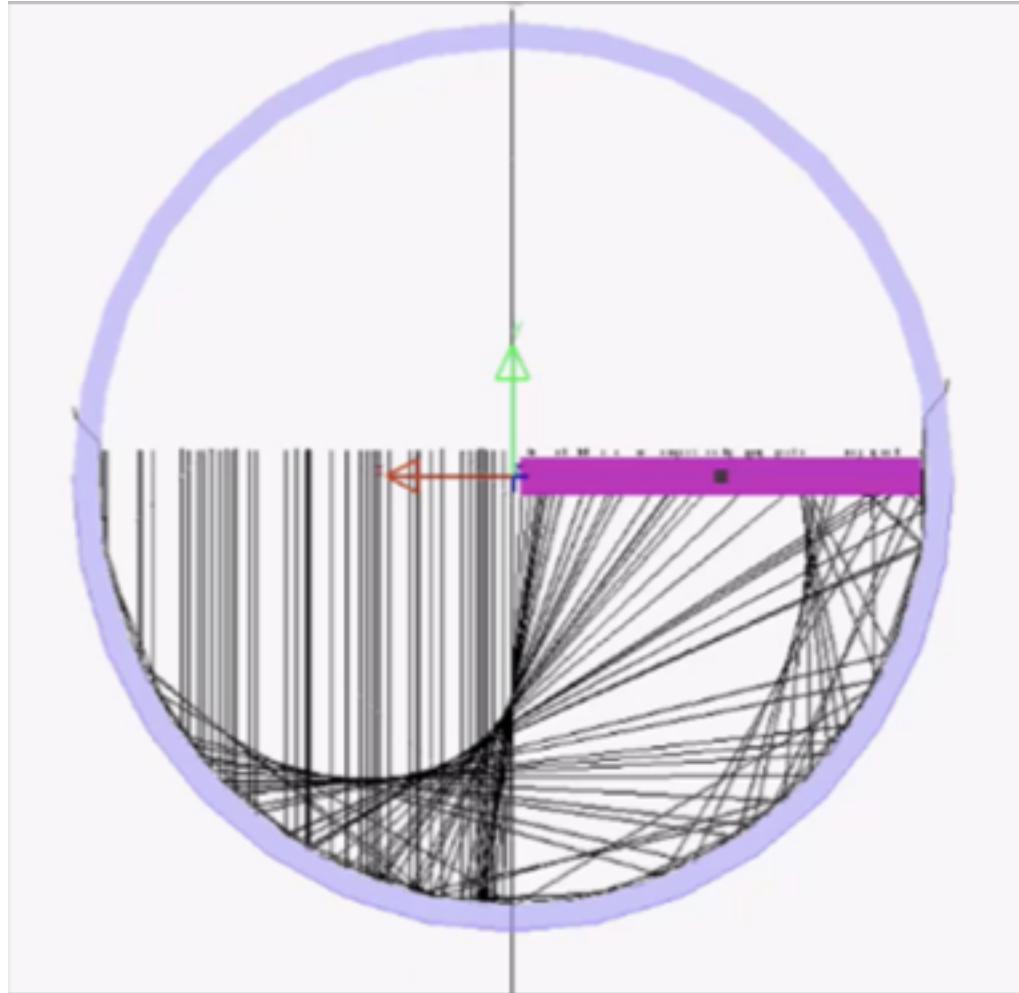
Winston's group and GTI



Two-Stage Beam Splitting Collector

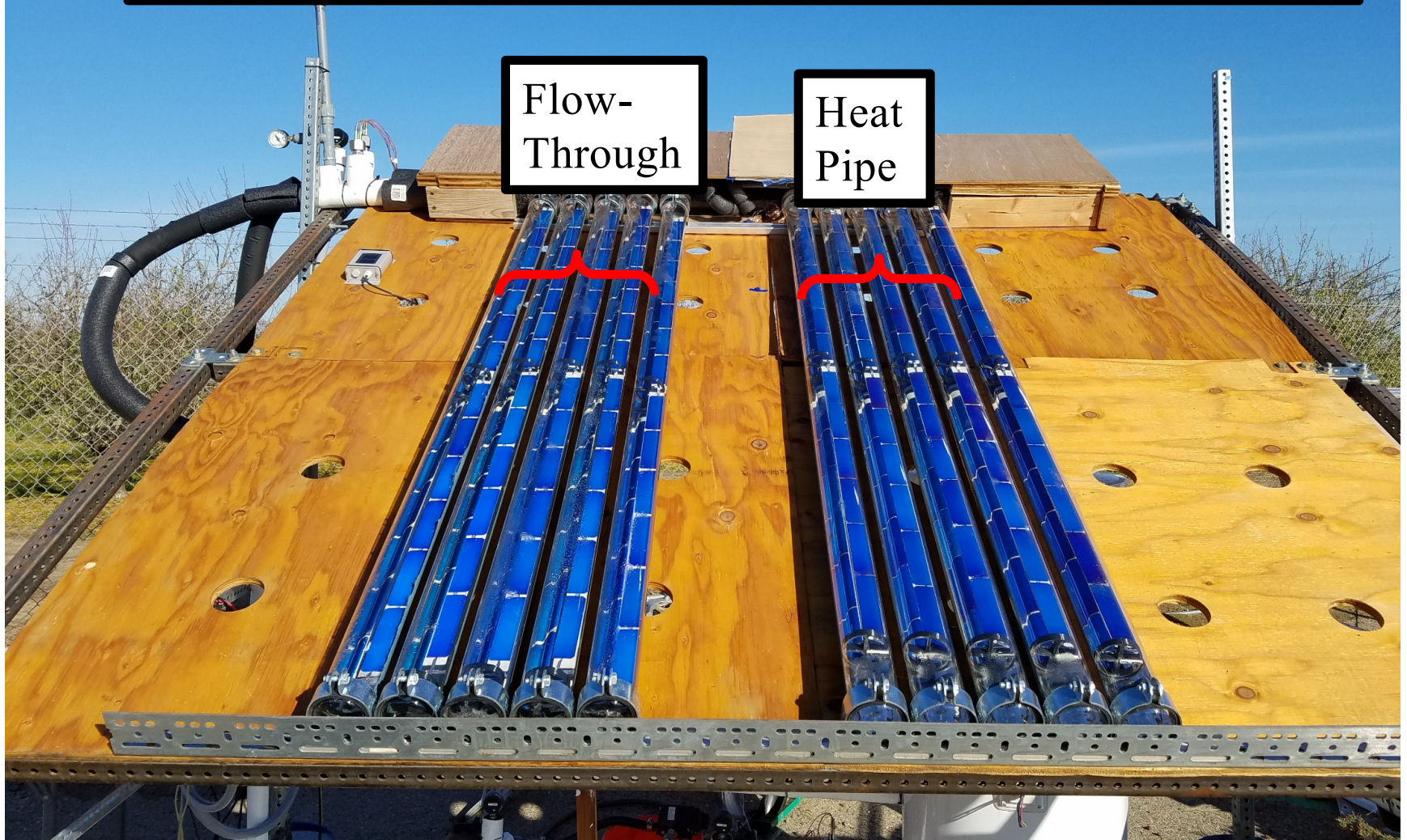


Colector Híbrido



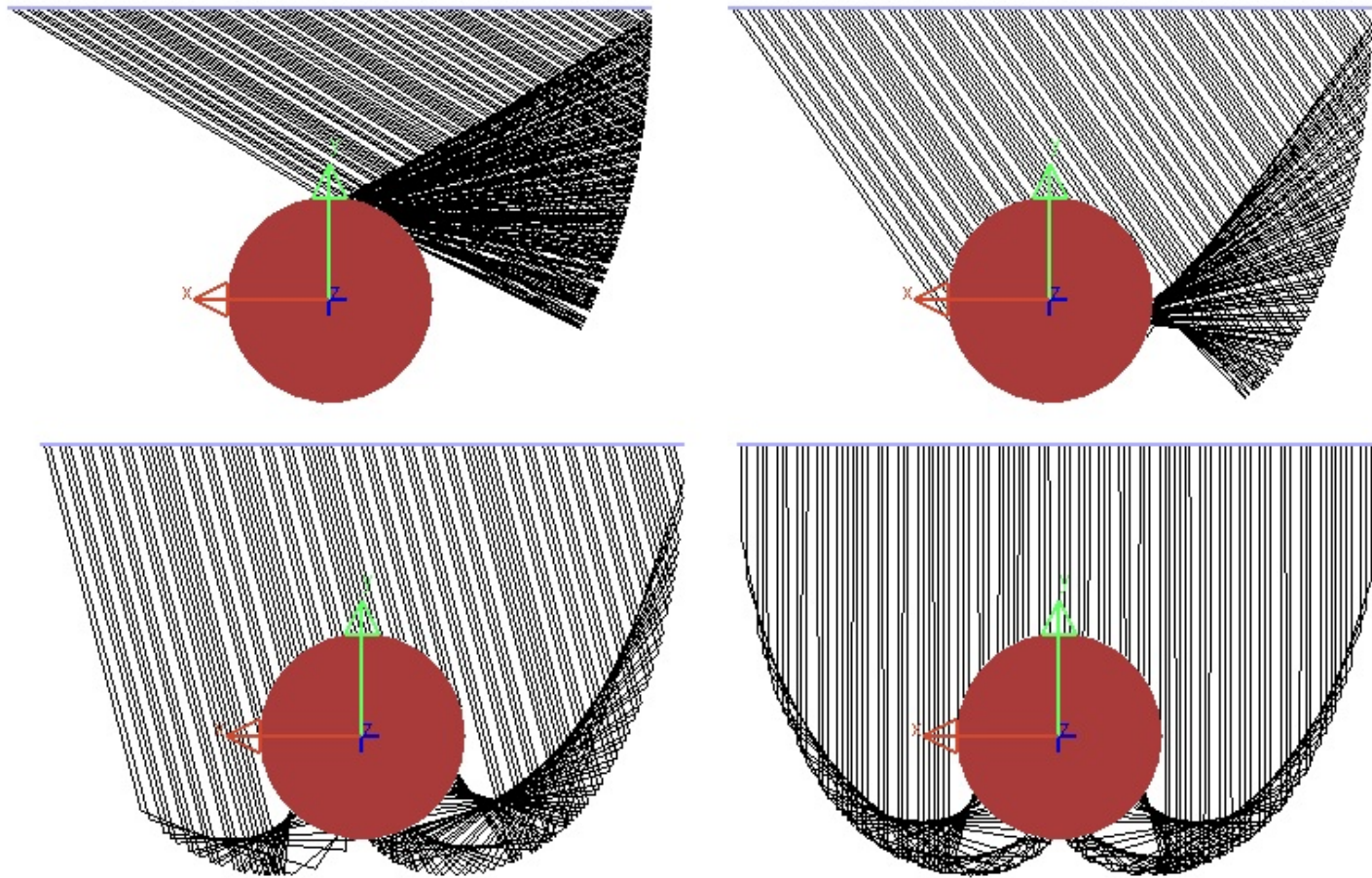
Sistema Híbrido

10-tube prototype array undergoing performance testing
at the University of California, Merced – Castle Research
Center



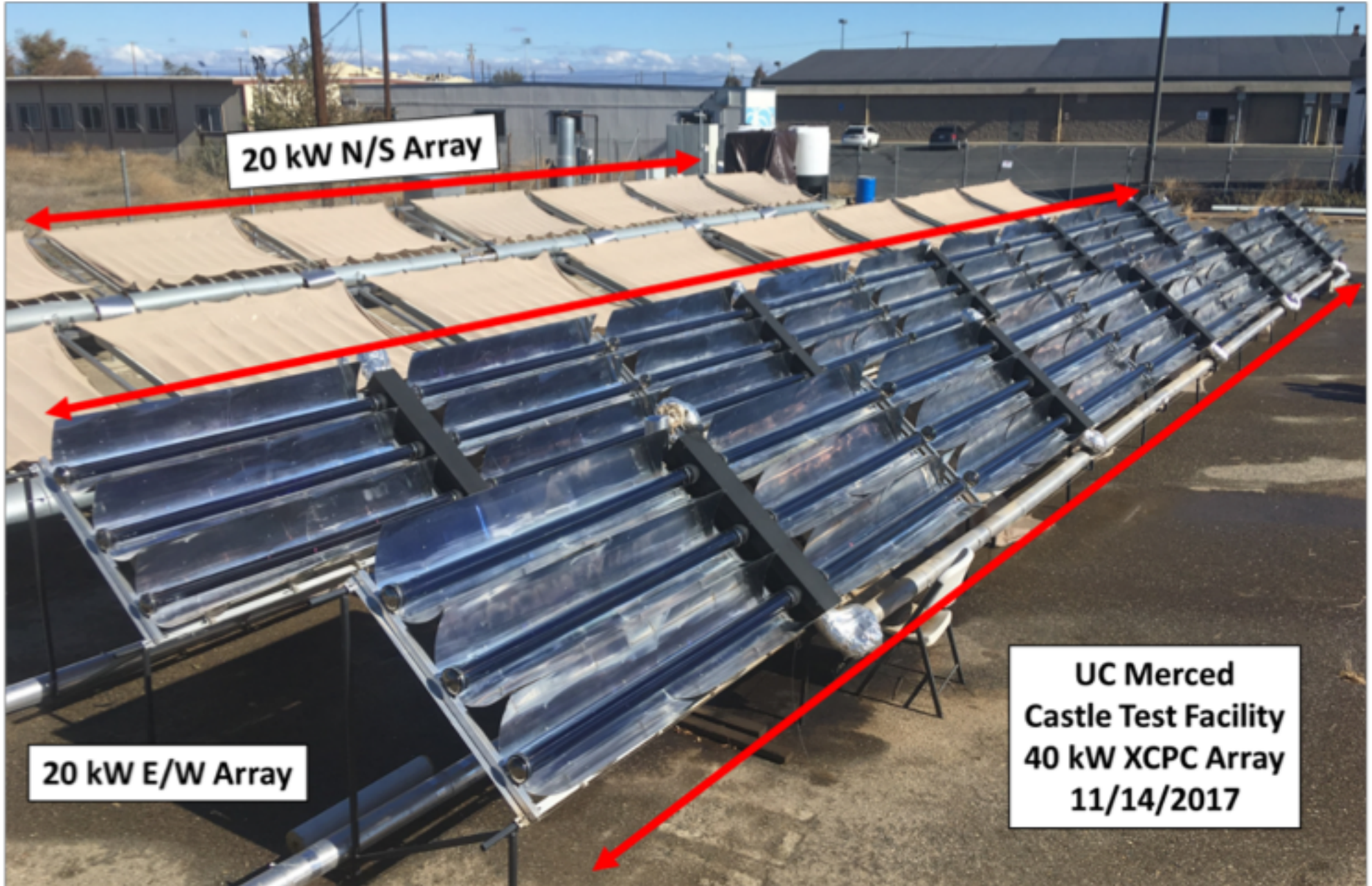
55 Celsius

Medium Temperature Industrial Process Heat (200°C)



The XCPC uses non-imaging optics to track the sun, while the XCPC hardware remains stationary

UC Solar XCPC Arrays



20 kW N/S Array

20 kW E/W Array

UC Merced
Castle Test Facility
40 kW XCPC Array
11/14/2017

Agradecimientos

We would like to thank the California Energy Commission for providing the funding for some of these projects (Contract # POEF01-M04). We also thank ARPA-E for funding provided to UC Solar.

and students:

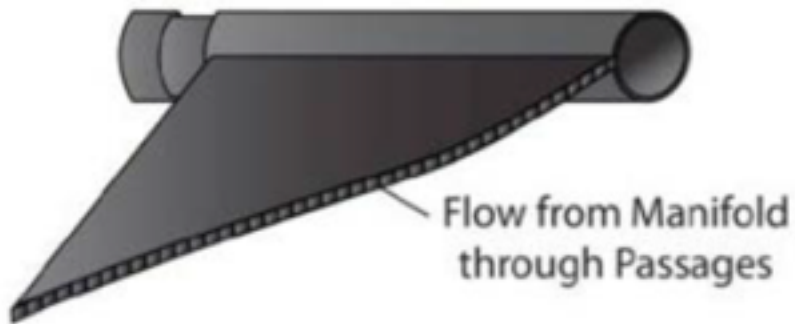
Azucena Robles, Adam Martin, Jose Guadarrama, Van Duong, Keith Saechao, Neeraj Sharma, Andres Munoz-Hernandez, Sai Kiran Hota, and Julio Pere

And Prof. Roland Winston's for his slides on evacuated tube collectors

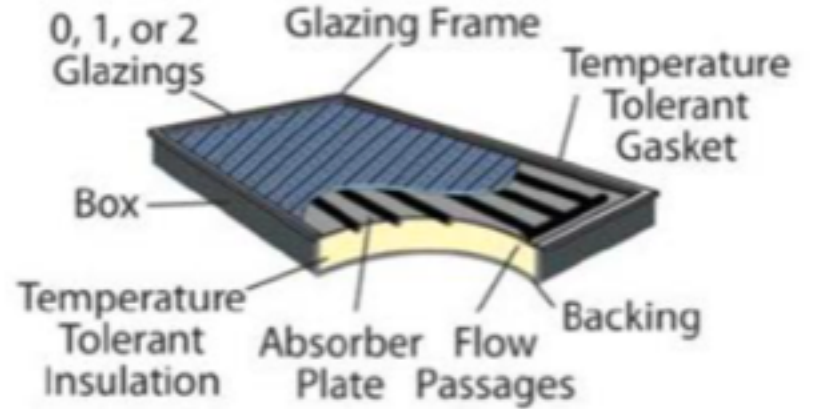
Absorbedores

Unglazed EPDM Collector

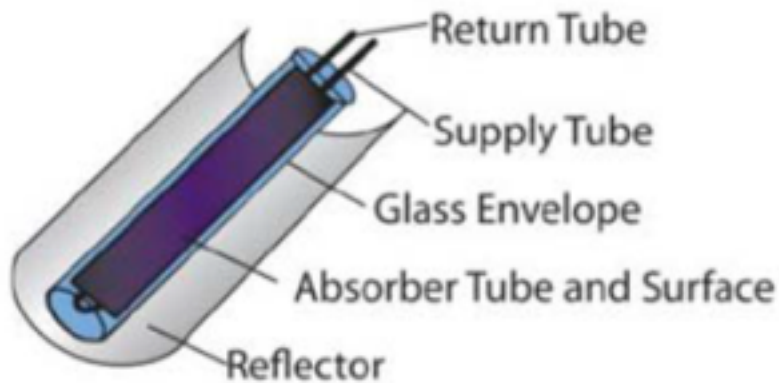
Extruded "Mat" with Flow Passages



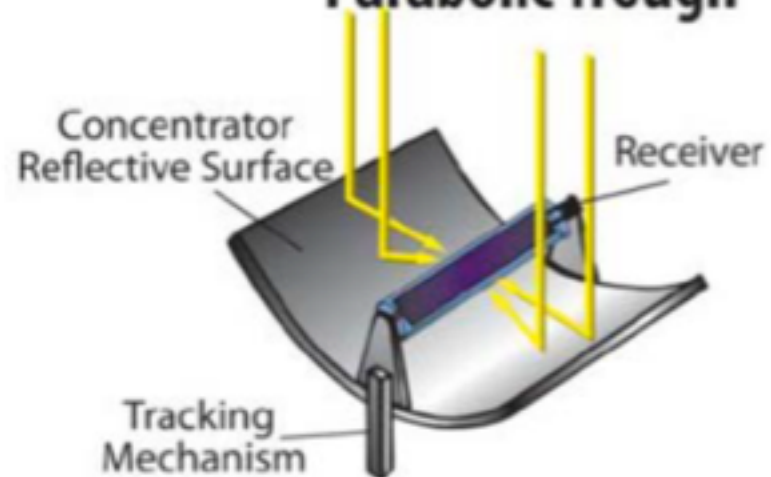
Flat Plate Collector



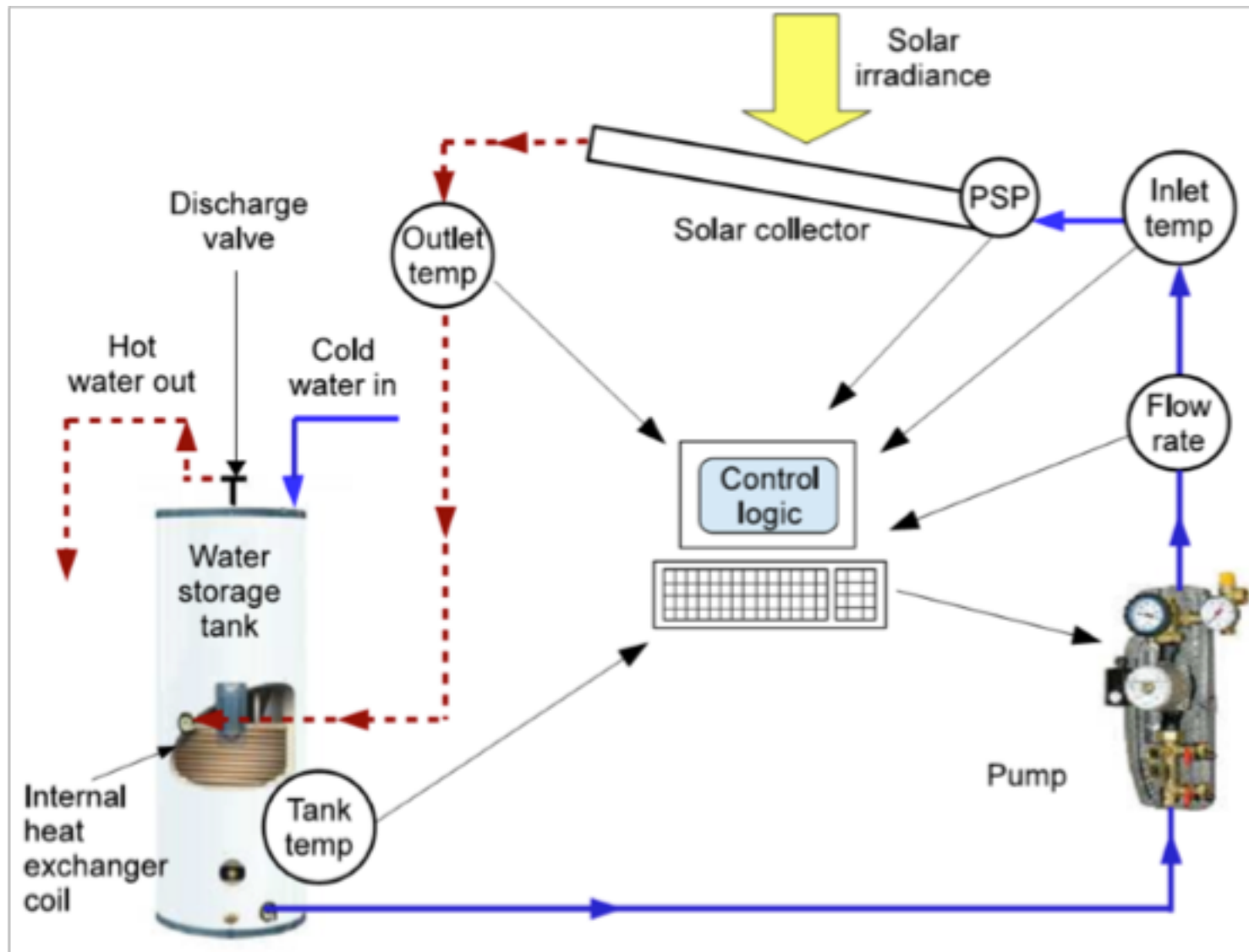
Evacuated Tubes



Parabolic Trough



Closed-Loop System



Changes in Incentives

CPUC approved Advice No. 4953 (April 29, 2016)

SoCalGas:

Step 1 incentive level of \$70/therm for Single Family

\$25/therm for Commercial/Multifamily applications.

Natural Gas-Displacing Single-Family System Incentive Steps			
Step	Incentive per annual therm displaced (<input type="checkbox"/>)For SoCalGas only	Maximum Incentive Single-Family Residential Projects (<input type="checkbox"/>)For SoCalGas only	Budget Allocation (in millions)
1	\$29.85 (\$70.00)	\$4,366 (\$10,238)	\$7,907,636
2	\$25.37	\$3,710	\$4,900,000
3	\$14.30 (\$0)	\$2,091	\$784,000
4	\$3.23 (\$0)	\$472	\$1,323,000

Plan B en Chile

|EURE

VOL. 42 | Nº 125 | ENERO 2016 | pp. 251-272 | ARTÍCULOS | ©EURE

251

Plan de Adaptación y Mitigación de los Servicios de Infraestructura al Cambio Climático

2017-2022



Chile
mejor

Vulnerabilidad frente al cambio climático en la Región Metropolitana de Santiago de Chile: posiciones teóricas versus evidencias empíricas

Juliane Welz. Helmholtz Centre for Environmental Research (UFZ), Department of Urban and Environmental Sociology, Leipzig, Alemania.

Kerstin Krellenberg. Centre for Environmental Research (UFZ), Department of Urban and Environmental Sociology, Leipzig, Alemania.

RESUMEN | Para la Región Metropolitana de Santiago de Chile (RMS), el cambio climático implica diferentes impactos que se suman a la continua expansión urbana y a cambios en los patrones de uso del suelo, los cuales a su vez acrecientan las amenazas hidroclimáticas, como las inundaciones y el calor extremo. En general, estos cambios tendrán notables consecuencias para la vulnerabilidad residencial. Especialmente las familias de bajos recursos y los asentamientos ilegales en grandes ciudades con crecimiento acelerado suelen ser los más vulnerables, debido a una mayor exposición y a una limitada capacidad de respuesta. Este artículo contrasta posiciones teóricas sobre las dimensiones socioeconómicas, físico-constructivas y urbano-rurales de la vulnerabilidad con evidencias empíricas, para entender quiénes son los más afectados por las inundaciones y el calor extremo en la RMS. Como muestran los resultados del estudio, las posiciones teóricas no se reflejan en los análisis cuantitativos. La vulnerabilidad depende de cada contexto y requiere políticas adecuadas para distintos territorios.

PALABRAS CLAVE | vulnerabilidad, riesgos naturales, medioambiente urbano.

ABSTRACT | *For the Metropolitan Region of Santiago de Chile (RMS), climate change implies different impacts adding to continuous urban growth and changes in land-use patterns, which in turn reinforce hydro-meteorological hazards such as floods and heat waves. At large, these changes are expected to have significant implications for residents' vulnerability. Particularly, marginalized families living in informal settlements of rapidly growing cities are often highly vulnerable to hazards due to their high exposure and limited coping capacities. This article seeks to contrast theoretical assumptions regarding the socio-economic, the physicalstructural and the urban-rural dimensions of vulnerability with empirical data in order to illuminate what groups are likely to be affected. As the research results show, general theoretical arguments are not reflected in the empirical data analysis. In contrast, residents' vulnerability to climate change is context-specific and requires appropriate policy strategies for differing areas.*

KEYWORDS | vulnerability, natural risks, urban environment.

Recibido el 6 de abril de 2014, aprobado el 9 de abril de 2015
E-mail: Juliane Welz, juliane.welz@ufz.de | Kerstin Krellenberg, kerstin.krellenberg@ufz.de